С. В. ФАРАДЖЯН

ВЛИЯНИЕ РЕЛЬЕФА НА ПОЛЕ ВЫЗВАННЫХ ПОТЕНЦИАЛОВ

По вопросу о влиянии рельефа на результаты метода вызванной по-

ляризации (ВП) нет единой точки зрения [1, 2, 3].

Окончательному решению этого вопроса могут способствовать экспериментальные (полевые и лабораторные) работы. В настоящей статье рассматриваются данные моделирования, полученные автором на плоских и объемных моделях.

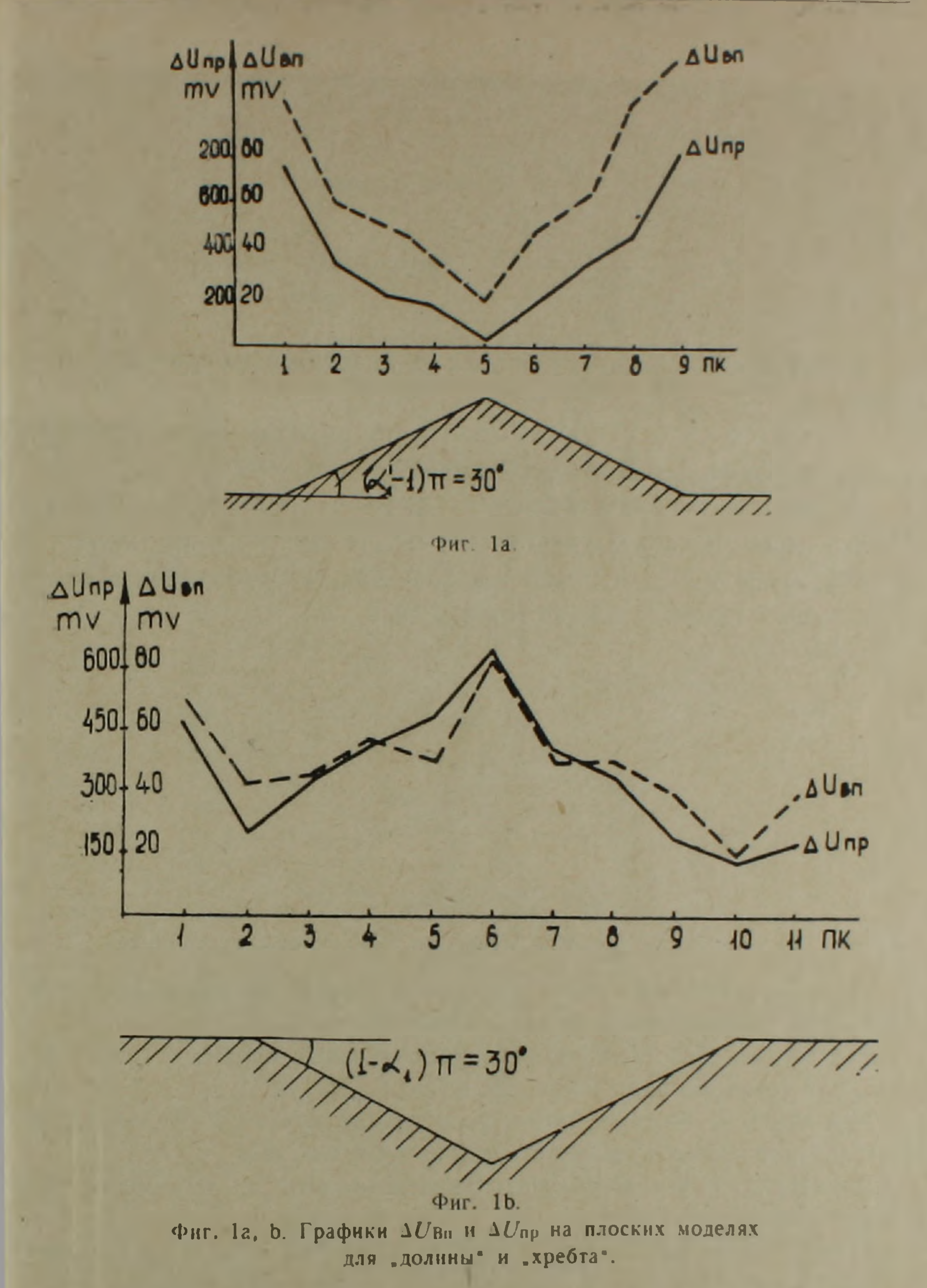
Методика и техника моделирования. В качестве материала для моделей была взята вальцмасса, приготовленная в следующем составе: желатин—32%, глицерин—30%, вода—34%, сахар—4%. Этот материал хорошо поляризуется при пропускании электрического тока. При остывании вальцмассы получается студень, которому можно придать любую форму. Спустя полчаса модель затвердевает. Электрическая однородность вальцмассы составляла—87% (удельная электропроводность вальцмассы—9,3·10-6 см-1·см-1).

Работы проводились на четырехэлектродной установке методом срединного градиента. Расстояние между измерительными электродами и шаг установки для объемной модели составляли по 2 см. Измерительными электродами служили серебряные иглы. Питающие электроды были изготовлены из латуни.

Расстояние между измерительными электродами и шаг установки для плоских моделей составляли по 2,5 см, а в качестве электродов были использованы специальные латунные приспособления, при помощи которых осуществлялось точечное питание вальцмассовой модели. Измерения проводились аппаратурой полевой станции ВП-59. Источником тока для объемной модели служили батареи ГРМЦ-69, а для плоских моделей—БАС-Г-80-У-2. Средние квадратические ошибки для потенциала пропускания и вызванной поляризации соответственно были разны — 14,4 mv ($\Delta U_{\rm np}^0 = 360$ mv) и 0,35 mv ($\Delta U_{\rm Bn}^0 = 4,8$ mv). а коэффициенты вариации для данного результата составляли — $9^0/_0$ и $7,3^0/_0$.

Размеры объемной модели были равны $90 \times 50 \times 50$ см³, а плоской— 144×60 см². Сила пропускаемого тока составляла 0,2 A и 16 μ A соответственно. Края бортов «долины» и «хребта» располагались примерно з средней трети AB расстояния.

Результаты модельных работ. Мы задались целью исследовать характер $\Delta U_{\rm Bn}$ и $\Delta U_{\rm np}$ в отдельности, руководствуясь при этом следующим положением: если каждая из этих величин в отдельности различно реагирует на неровности рельефа, то, очевидно, их отношение, т. е. поляризуемость— η , будет отмечать неровности рельефа и наоборот, в случае однотипности искажения потенциалов, η должен быть постоянным в условиях пересеченной местности.



1. На фиг. 1а и 16 даны графики $\Delta U_{\rm Bn}$ и $\Delta U_{\rm np}$ на плоских модетях, которые соответствуют разрезам «долины» и «хребта» в форме треугольника. Из рисунка видно, что в пределах точности замеров характер кривых одинаков и их отношение постоянно. Более подробно разберем случай объемной модели. Здесь необходимо ксснуться методики сопо-

ставления кривых.

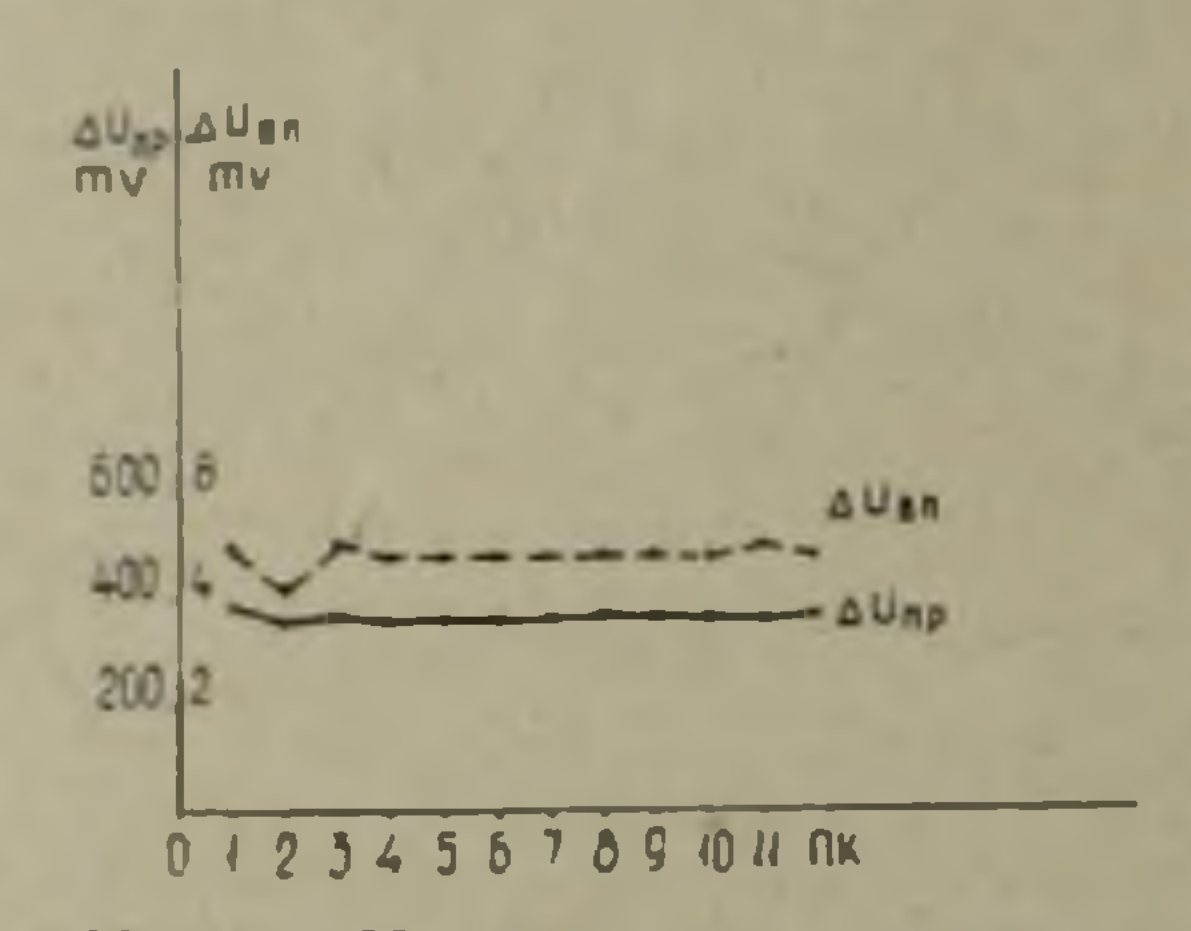
Согласно Л. С. Чантуришвили [4] функция, которая отображает плоско-параллельный поток в нижнюю бесконечную полуплоскость, имеет вид:

$$E=E_0\left|1-rac{k^2}{\omega^2}
ight|^{1-\sigma_1}$$
 для долины $E=rac{E_0}{\left|1-rac{k_1^2}{\omega^2}
ight|^{\sigma_2'-1}}$ для хребта.

Значения постоянных «К» даны в цитированной литературе в виде таблиц.

 $(1-\alpha_1)$ π и (α_1-1) π являются углами наклона борта "долины" и подъема склона "хребта" (для данной модели — 45).

 E_0 — это то значение градиента, которое соответствует неискаженному полю. В нашем случае $E_0 \sim \Delta U_{\rm np} = 360$ mv (для $\Delta U_{\rm np}$) и $E_0 \sim \Delta U_{\rm Bn} = 4.8$ mv (для $\Delta U_{\rm Bn}$), Эти значения соответственно получены на ровном профиле той же модели (фиг. 2a).



Фиг. 2а. Графики $\Delta U_{\rm Bn}$ и $\Delta U_{\rm np}$ на ровном профиле объемной модели.

Таким образом, при постороении соответствующих палеток нашими отсчетными единицами были $\Delta U_{\rm пр}$ — 360 mv и $\Delta U_{\rm Bn}$ — 4,8 mv.

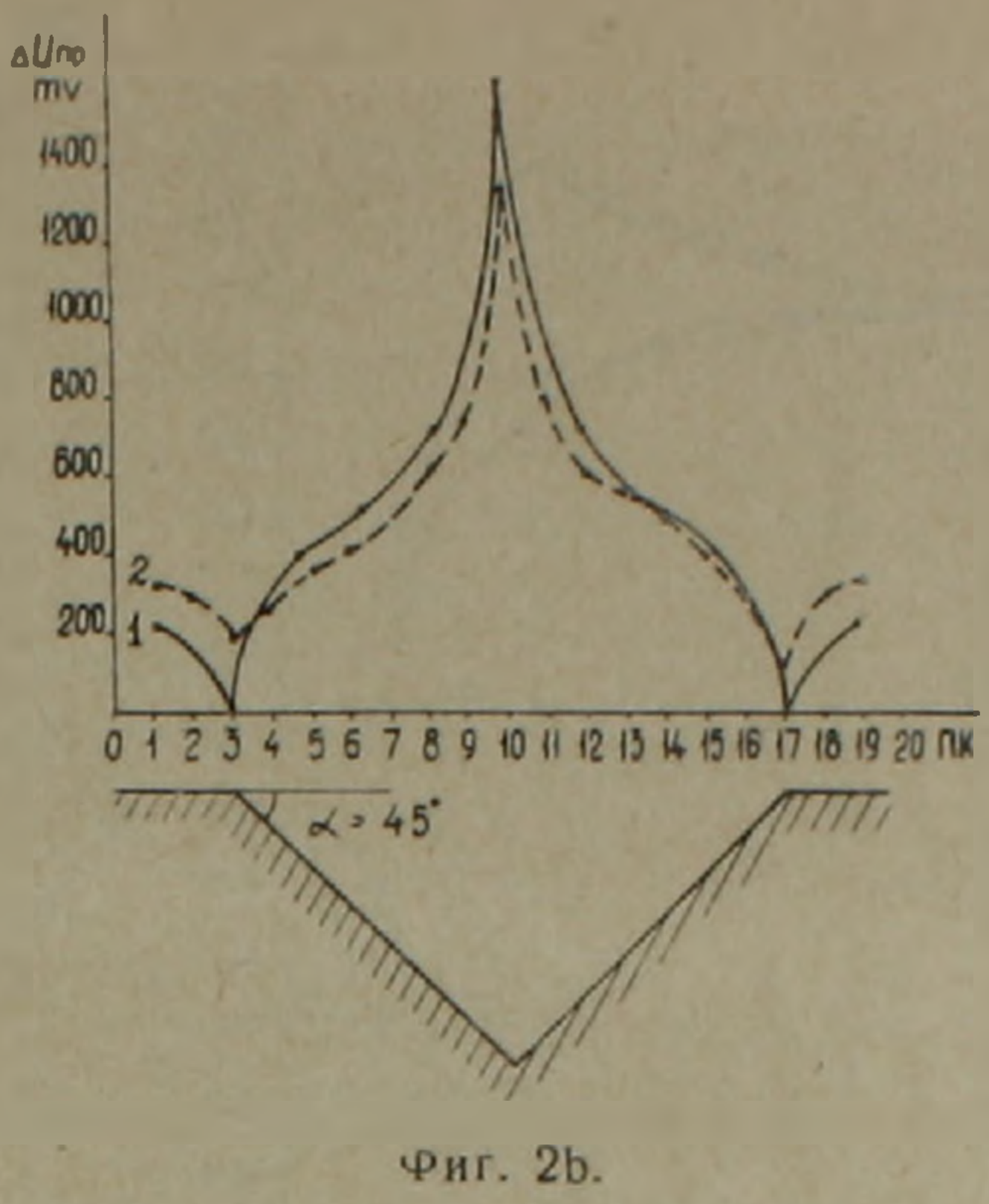
Результаты сопоставления экспериментальных кривых с теоретическими для «долины» даны на рис. 2б и 2с.

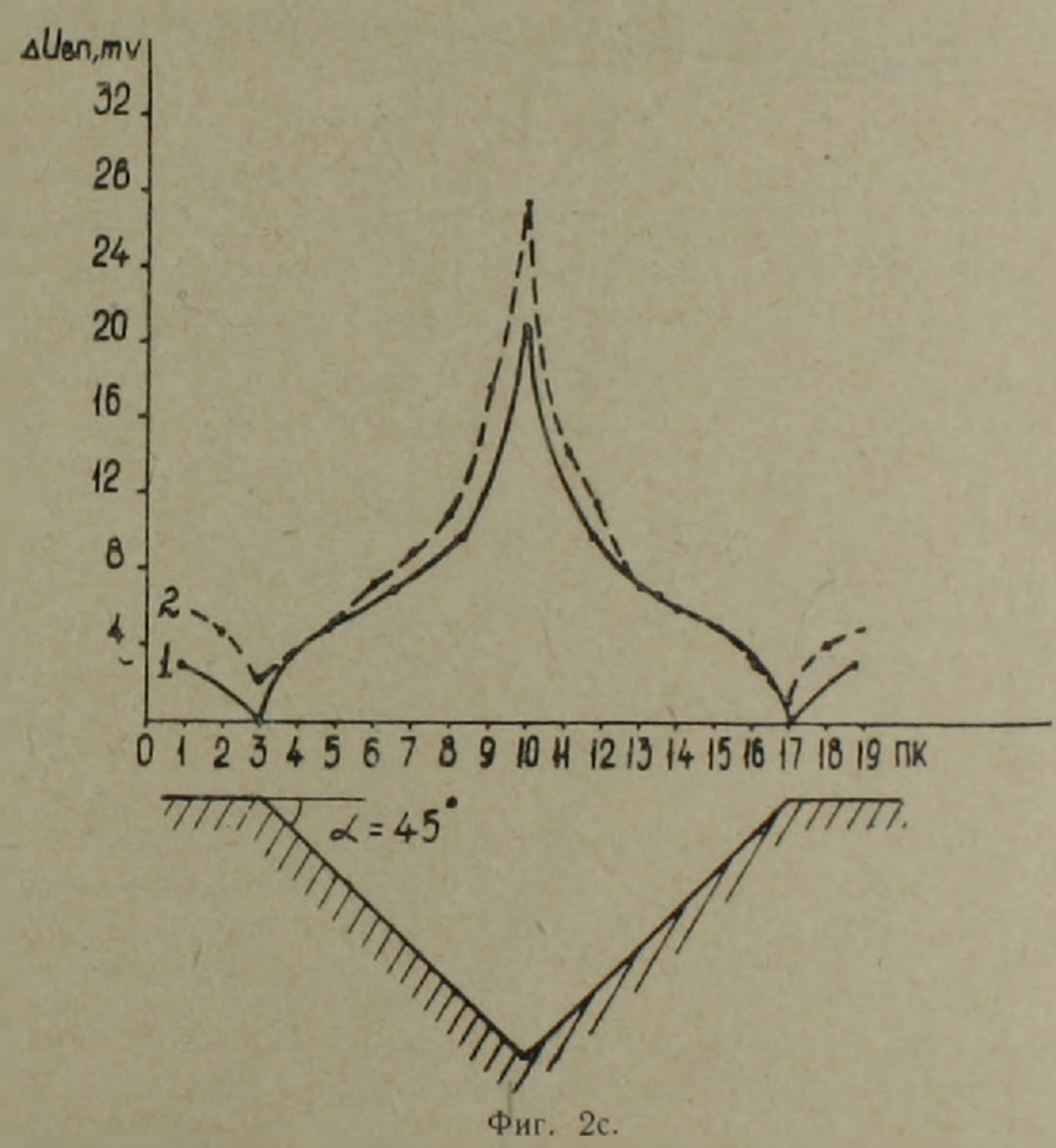
Как видно из чертежа, экспериментальные кривые в пределах точпости замеров следуют соответствующим палеткам «Е».

Представляло интерес исследование поведения параметра для угловых точек.

С этой целью мы воспользовались поправочными коэффициентами на рельеф при измерении градиента электрического потенциала в пойме «долины» при различных углах наклона борта и при различных скруглениях дна «долины» [5].

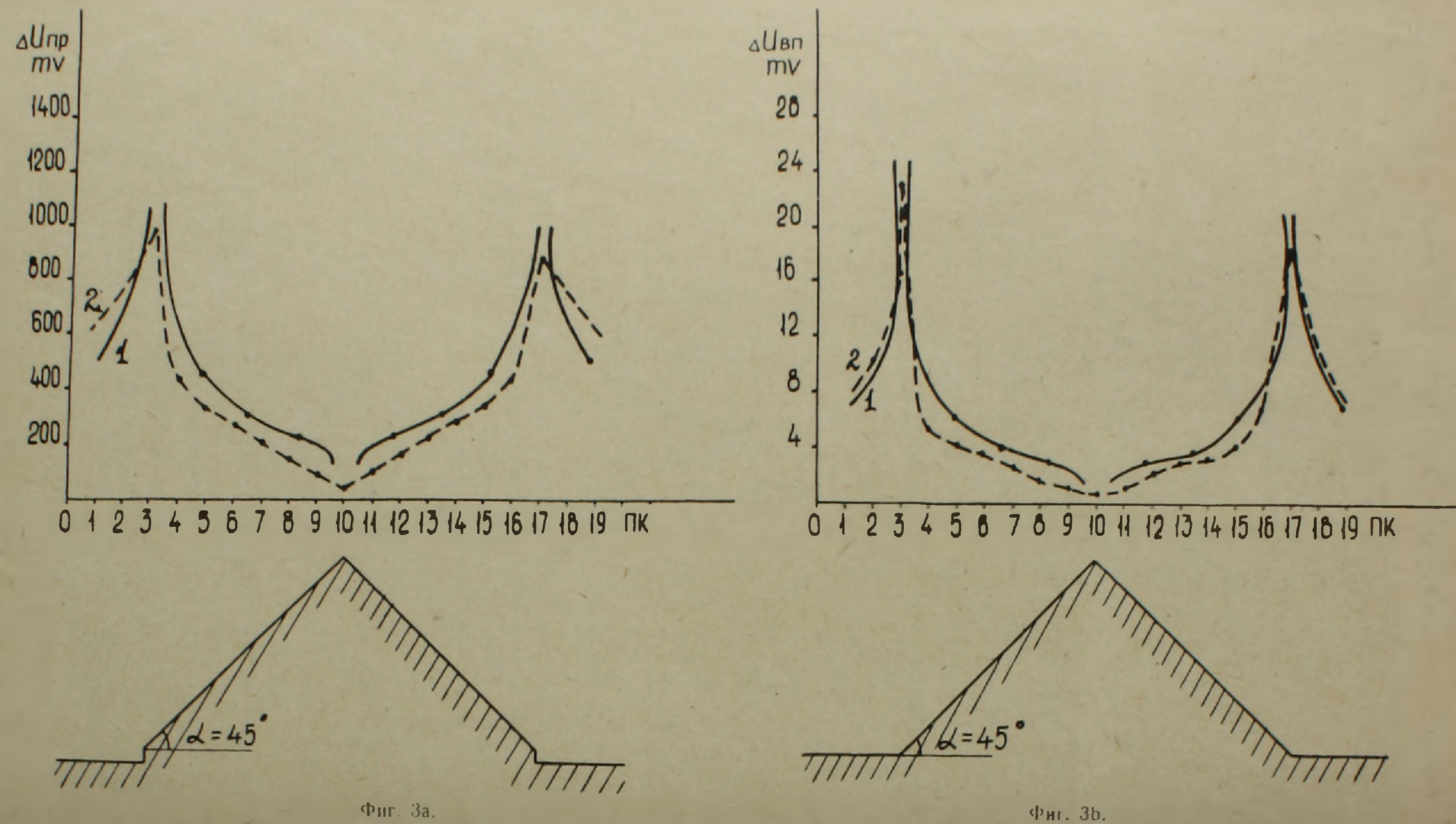
Необходимость введения поправочных коэффициентов вытекает из того, что в угловых точках, в частности на дне долины, как это вытекает из теории, $U \rightarrow \infty$. Но, имея в виду, что в действительности эти углы всегда скруглены в той или иной степени, необходимо вносить поправку на рельеф при определенном скруглении дна «долины». В нашем случае дно





фиг. 2b, 2c. Результаты сопоставления экспериментальных кривых с теоретическими (долина). 1 — теоретическая кривая 2 — экспериментальная кривая.

долины скруглено в 1/100 мере (в долях длины борта) и уже при наклоне борта «долины» в 45° для поправочного коэффициента получено значение, равное 4,5.



Риг. За, 3b. Результаты сопоставления экспериментальных кривых с теоретическими (хребет). 1— теоретическая кривая. 2—экспериментальная кривая,

Легко заметить, что экспериментальное значение и здесь, в пределах точности, совпадает с теоретическим значением.

Аналогичное сравнение было проведено и для хребта.

На фиг. За и Зб представлены графики теоретических и экспериментальных кривых, соответственно для $\Delta U_{\rm Bn}$ и $\Delta U_{\rm пр}$, из которых видно, что здесь, как и в случае «долины», имеет место совпадение кривых.

Таким образом, на основании проведенного исследования можно заключить, что при наличии неровности рельефа изменение $\Delta U_{\rm Bn}$ совершенно аналогично изменению $\Delta U_{\rm np}$ и поляризуемость, представляющая отношение этих величин, не должна зависеть от рельефа.

Институт геофизики и инженерной сейсмологии АН АрмССР

Поступила 8.1.1968.

Ս. Վ. ՖԱՐԱԶՅԱՆ

ԴԵԼՅԵՖԻ ԱԶԴԵՑՈՒԹՅՈՒՆԸ ՀԱՐՈՒՑՎԱԾ ՊՈՏԵՆՑԻԱԼՆԵՐԻ ԴԱՇՏԻ ՎՐԱ

Հողվածում քննարկվում է հարուցված պոտենցիալների դաշտի վրա երկրի մակերևույթի անհարթությունների ազդեցության հարցը։

Այդ նպատակով բերվում են հարթ և ծավալային մոդելների վրա կատարված լաբորատոր չափումների արդյունքները։ Ձափումները կատարվել հն հարթ մոդելի այն եղրի և ծավալային մոդելի այն նիստի վրա, որոնք իրենցից ներկայացնում են եռանկյան տեսք ունեցող ուռուցիկ և գոգավոր մակերևույթներ։

ЛИТЕРАТУРА

- 1. Гезин А. Г. Применение метода ВП в рудных районах Северного Кавказа. Вестник Ленинградского университета, 1963.
- 2. Комаров В. А., Пишпарева Н. А., Семенов М. В., Хлопонина Л. С. Теоретические основы интерпретации наблюдений в методе вызванной поляризации, Изд. «Незра», 1966.
- 3. Поляков А. С. Усовершенствование и разработка методов электроразведки применительно к поискам и разведке полиметаллических руд Центрального Казахстана. Автореферат канд. диссертации, 1963.
- 4. Чантуришвили Л. С. Электроразведка при проектировании дорог на пересеченной местности. М., 1959.
- 5. Чантуришвили Л. С. Поправки за рельеф при измерении градиента электрического потенциала в пойме долины. Сообщения АН Груз. ССР, XXXIII, 1964.